

## پهنه‌بندی خطر زمین‌لغزش با استفاده از تئوری دمپستر-شفر مطالعه موردی: حوزه آبخیز زیارت، استان گلستان

کاظم صابر چناری\*، حسین سلیمانی؛ دانشگاه علوم کشاورزی و منابع

طبیعی گرگان، گروه مهندسی آبخیزداری

مریم سادات میرعابدینی؛ دانشگاه گلستان، گروه زمین‌شناسی

پذیرش ۹۵/۰۵/۱۲

تاریخ: دریافت ۹۵/۰۳/۰۸

### چکیده

هدف از این پژوهش ارزیابی خطر زمین‌لغزش حوزه آبخیز زیارت استان گلستان با استفاده از تئوری دمپستر-شفر در سیستم اطلاعات جغرافیایی است. در گام اول با استفاده از گزارشات موجود و تفسیر عکس‌های هوایی نقشه پراکنش نقاط لغزشی منطقه بررسی شده تهیه شد. از کل نقاط لغزشی (۵۰ نقطه) ۳۵ نقطه آن (۷۰ درصد) برای تهیه نقشه پهنه‌بندی خطر و نقاط باقی‌مانده (۳۰ درصد) برای ارزیابی مدل در نظر گرفته شد. در گام دوم ۱۲ عامل مؤثر بر زمین‌لغزش برای تهیه نقشه پهنه‌بندی خطر زمین‌لغزش در نظر گرفته شد. این عوامل شامل درصد شیب، جهت شیب، ارتفاع، خطوط هم‌باران، زمین‌شناسی، کاربری اراضی، بافت خاک، فاصله از جاده، فاصله از گسل، تراکم گسل، فاصله از رودخانه، شاخص قدرت رودخانه هستند. سپس، وزن کلاس‌های هر عامل مشخص شده و نقشه پهنه‌بندی خطر زمین‌لغزش منطقه با ۱۳ رویکرد مدل‌سازی با استفاده از تئوری دمپستر-شفر تهیه شد. سرانجام برای ارزیابی مدل‌ها منحنی عملکرد نسبی ترسیم و سطح زیر منحنی محاسبه شد. نتایج ارزیابی نشان داد، تئوری دمپستر-شفر برای رویکرد ششم مدل‌سازی (حذف عامل لیتولوژی) با سطح زیر منحنی ۹۲/۹٪ (عالی) و انحراف معیار ۰/۰۴۵، بیش‌ترین دقت را دارد. از این رو، نقشه خطر زمین‌لغزش تهیه شده برای منطقه بررسی شده می‌تواند برای برنامه‌ریزان و مهندسان در شناسایی مناطق مستعد خطر زمین‌لغزش و ارائه راهکارهای مناسب برای کاهش و مدیریت خطر مفید باشد.

واژه‌های کلیدی: خطر زمین‌لغزش، تئوری دمپستر-شفر، زیارت، گلستان.

\* نویسنده مسئول K.saberchenari@gmail.com

### مقدمه

زمین‌لغزش‌ها رخداد‌های طبیعی است که یک یا چند عامل می‌تواند در وقوع آن دخیل باشد که هر یک از آن‌ها نقش معینی را در این زمینه ایفا کنند [۱]. ارزیابی خطرهای این پدیده به علت دخالت عوامل مؤثر در رخداد آن مسئله‌ای پیچیده است. نداشتن قطعیت که ناشی از گنگ بودن، ناکامل و مبهم بودن شرایط و مفاهیم مرتبط با مشخصه‌هایی مانند زمین‌شناسی، آب‌شناختی، تکتونیکی، پوشش گیاهی، بارندگی، فرسایش، نوسان دما و غیره در بروز ناپایداری دامنه‌ای است لزوم بهره‌گیری از روش‌های دقیق و مناسب را در بررسی ناپایداری‌های دامنه‌ای، منطقی می‌کند [۲]. از آن‌جا که پیش‌بینی زمان رخداد زمین‌لغزش‌ها از توان علم و دانش فعلی بشر خارج است، از این رو با شناسایی مناطق حساس به زمین‌لغزش و رتبه‌بندی آن می‌توان تا حدودی از خطرات ناشی از وقوع زمین‌لغزش جلوگیری کرد [۳].

براساس برآورد اولیه، سالیانه ۵۰۰ میلیارد ریال خسارت مالی از طریق لغزش‌ها بر کشور تحمیل می‌شود و این در صورتی است که از بین رفتن منابع طبیعی غیرقابل بازگشت به حساب آورده نشوند [۴]. به‌طور کلی می‌توان هدف نهایی بررسی و مطالعه زمین‌لغزش‌ها را یافتن راه‌های کاهش خسارات ناشی از آن‌ها ذکر کرد. همین امر لزوم تهیه نقشه پهنه‌بندی خطر زمین‌لغزش را تأکید می‌کند [۵].

استان گلستان از استان‌های مستعد زمین‌لغزش است. از آن جمله می‌توان به زمین‌لغزش‌های منطقه زیارت اشاره کرد که به سبب شرایط خاص این پدیده از جمله وجود سازند سنگی حساس و تغییر شدید کاربری اراضی و دخالت‌های انسانی در حوضه لزوم انجام پهنه‌بندی خطر زمین‌لغزش و انجام اقدامات مدیریتی ضروری است. هدف از این مطالعه پهنه‌بندی خطر زمین‌لغزش حوزه آبخیز زیارت با استفاده از تئوری دمپستر-شفر است. برای این هدف از ۱۳ روی‌کرد مدل‌سازی یعنی استفاده از تمام عوامل و حذف تک‌تک آن‌ها مد نظر قرار گرفت. سرانجام دقت مدل‌ها به‌منظور انتخاب مهم‌ترین عوامل مؤثر بر زمین‌لغزش و هم‌چنین انتخاب بهترین مدل، با استفاده از منحنی عملکرد نسبی ارزیابی شد.

از پژوهش‌های انجام شده در این زمینه می‌توان به پورقاسمی و همکاران (a ۲۰۱۳) در پهنه‌بندی خطر زمین‌لغزش حوزه آبخیز هراز مازندران با دو روش دمپستر-شفر<sup>۱</sup> و مدل وزن نشان‌گر<sup>۲</sup> اشاره کرد. در ابتدا پس از بررسی‌های میدانی ۱۱ عامل مؤثر شامل شیب دامنه، جهت شیب، ارتفاع از سطح دریا، بارندگی، فاصله از جاده، فاصله از گسل، فاصله از شبکه زهکشی، کاربری اراضی و سنگ‌شناسی، شاخص رطوبت توپوگرافی، شاخص قدرت رودخانه، شاخص طول شیب به‌عنوان عوامل مؤثر در وقوع زمین‌لغزش‌های منطقه تشخیص داده شدند و نقشه این ۱۱ عامل در محیط نرم‌افزار ArcGIS تهیه شد و لایه پراکنش زمین‌لغزش‌ها روی هر کدام از این لایه‌ها انداخته شدند و هم‌پوشانی شد، تا نقش طبقات مربوط به عوامل مختلف مشخص شود. نتایج ارزیابی دو روش با استفاده از منحنی عملکرد نسبی<sup>۳</sup> نشان داد که این روش دقت خیلی خوبی در پهنه‌بندی خطر زمین‌لغزش منطقه دارند [۶]. از تحقیقات داخلی دیگر می‌توان به پژوهش‌های فاطمی‌عقدا و همکاران (۱۳۸۴) در منطقه رودبار، مرادی و همکاران (۱۳۸۹)، پورقاسمی و همکاران (b ۲۰۱۳) در استان گلستان، شیرانی و سیف (۱۳۹۰)، صابر چناری و همکاران (۱۳۹۴) در استان گلستان و بهاروند و سوری (۱۳۹۴) در جنوب شرقی خرم‌آباد اشاره کرد [۷]، [۸]، [۹]، [۱۰]، [۱۱]، [۴]. یالسین<sup>۴</sup> (۲۰۰۸) نقشه حساسیت زمین‌لغزش را در حوضه آردیس ترکیه با سه روش تحلیل سلسله مراتبی، فاکتور وزنی و شاخص آماری تهیه کرد و برای ارزیابی، از سه نقشه پهنه‌بندی تهیه شده از زمین‌لغزش‌های فعال منطقه استفاده کرد. نتایج نشان داد که ۸۱/۳ درصد لغزش‌های فعال در روش تحلیل سلسله مراتبی و ۶۲/۵ درصد لغزش‌های فعال در روش شاخص آماری و ۶۸/۸ درصد با روش فاکتور وزنی، پهنه‌های با خطر بالا و خیلی بالا رخ داده‌اند [۲]. از دیگر تحقیقات صورت گرفته درباره زمین‌لغزش در خارج از کشور می‌توان به مطالعات نوهازر و ترهورست<sup>۵</sup> (۲۰۰۷) در جنوب غربی آلمان، لی<sup>۶</sup> (۲۰۰۷) در چین، پارک<sup>۷</sup> (۲۰۱۰) در منطقه

- 
1. Dempster-Shafer
  2. Weight of Evidence
  3. Receiver Operating Characteristic
  4. Yalcin
  5. Neuhauser & Terhorst
  6. Lee
  7. Park

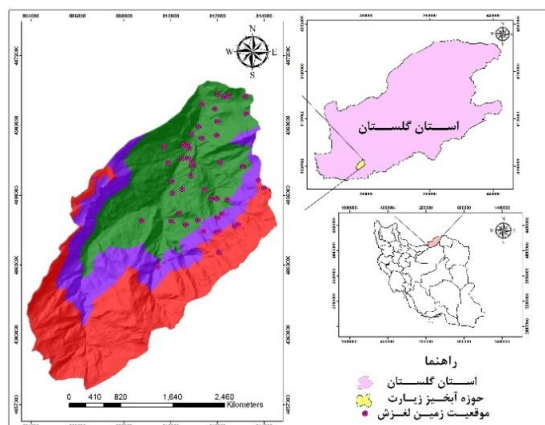
جانگ هیونگ در کشور کره و سعادت‌خواه و همکاران (۲۰۱۴) در منطقه هولوکالنگ مالزی، وانگ<sup>۱</sup> و همکاران (۲۰۱۶) در شهر داگن چین با استفاده از مدل‌های دمپستر-شفر و وزن نشانگر، ژانگ<sup>۲</sup> و همکاران (۲۰۱۶) در منطقه کونگ لیو چین با استفاده از مدل‌های نسبت فراوانی و تابع تئوری اعتقاد، دینگ<sup>۳</sup> و همکاران (۲۰۱۶) در منطقه تای‌بای چین با استفاده از مدل‌های نسبت فراوانی و وزن نشان‌گر و تابع تئوری اعتقاد، السواینی<sup>۴</sup> و همکاران (۲۰۱۶) در منطقه اینجه کره جنوبی و ارنر<sup>۵</sup> و همکاران (۲۰۱۶) با استفاده از مدل‌های تصمیم‌گیری چند متغیره و رگرسیون لجستیک در شمال غربی کشور ترکیه اشاره کرد [۱۳]، [۱۴]، [۱۵]، [۱۶]، [۱۷]، [۱۸]، [۱۹]، [۲۰]، [۲۱].

## مواد و روش‌ها

### منطقه بررسی شده

حوزه آبخیز زیارت در جنوب شهرستان گرگان در محدوده جغرافیایی  $36^{\circ} 36' 58''$  تا  $36^{\circ} 46' 11''$  عرض شمالی و  $54^{\circ} 23' 55''$  تا  $54^{\circ} 10' 13''$  طول شرقی واقع شده است. از مغرب به حوزه آبخیز شصت کلاته، از مشرق به حوزه آبخیز چهار باغ، از جنوب به ارتفاعات لره کوه و از شمال به رودخانه قره‌سو محدود می‌شود. مساحت کل حوضه بررسی شده تقریباً ۷۸۰۰ هکتار است. پایین‌ترین نقطه آن ۶۴۸ متر و بالاترین نقطه آن ۲۹۱۰ متر ارتفاع دارد. متوسط بارندگی سالانه حوزه آبخیز زیارت ۵۷۵ میلی‌متر و متوسط دمای منطقه ۵/۷ درجه سانتی‌گراد است. سازندهای زمین‌شناسی حوضه زیارت شامل سازند خوش بیلاق، لار، مبارک، شمشک و شیست گرگان است و بخش عمده حوضه کوهستانی است. کاربری‌های اراضی منطقه به ترتیب مساحت شامل جنگل، مرتع، کشاورزی و مسکونی است. گونه‌های جنگلی شامل توسکا، ممرز، بلوط، راش، انجیلی و نمدار و درختچه ژونیپروس و گونه‌های مرتعی بروموس ساختار پوشش گیاهی منطقه را تشکیل داده است (شکل ۱) [۲۲].

- 
1. Wang
  2. Zhang
  3. Ding
  4. Althwaynee
  5. Erner



شکل ۱. موقعیت منطقه بررسی شده

### روش تحقیق

لازمه تهیه نقشه خطر زمین‌لغزش، تهیه نقشه پراکنش لغزش‌های منطقه است. در این تحقیق با استفاده از داده‌های میدانی، گزارشات موجود و همچنین با استفاده از نقشه پراکنش زمین‌لغزش (تهیه شده از تفسیر عکس هوایی و بازدید میدانی توسط معاونت آبخیزداری استان گلستان سال ۱۳۸۶) نقاط لغزشی حوضه ثبت و وارد نرم‌افزار ArcGis گردید (شکل ۱) [۲۳]. از کل نقاط لغزشی ۷۰ درصد آن (۳۵ نقطه) برای تهیه نقشه پهنه‌بندی خطر و ۳۰ درصد آن (۱۵ نقطه) برای ارزیابی مدل در نظر گرفته شد [۹]، [۱۱]، [۲۳]، [۲۴].

به‌طور کلی انتخاب نوع عوامل مؤثر در ظهور یک پدیده از قبیل زمین‌لغزش، چشمه و قنات با توجه به شرایط مختلف منطقه بررسی شده متفاوت است و در مطالعات مختلف صورت گرفته در این زمینه محققان داخلی و خارجی مجموعه‌ای از عوامل مختلف توپوگرافیکی، لیتولوژیکی، اداپتیکی و هیدرولوژیکی را در مطالعات پهنه‌بندی خطر زمین‌لغزش در نظر گرفته‌اند. در این پژوهش سعی شد که براساس پژوهش محققان قبلی و شرایط موجود در منطقه، بررسی جامعی در زمینه عوامل مؤثر در وقوع زمین‌لغزش صورت گیرد [۹]، [۱۱]، [۱۸]، [۱۹]، [۲۰]، [۲۱]، [۲۳]، [۲۵]. در تمام پژوهش‌های ذکر شده نقش عوامل لیتولوژیکی در وقوع زمین‌لغزش با استفاده از نوع سازند و فاصله از گسل بررسی شده است.

از این رو با استفاده از داده‌های موجود، نقشه‌های پایه و تصاویر ماهواره‌ای (نقشه توپوگرافی با مقیاس ۱:۲۵۰۰۰ سازمان جغرافیایی نیروی مسلح، نقشه خاک‌شناسی سازمان منابع طبیعی و آبخیزداری استان گلستان، نقشه زمین‌شناسی ۱:۱۰۰۰۰۰ سازمان زمین‌شناسی کشور، نقشه کاربری اراضی منطقه از طریق تصاویر ماهواره‌ای (ETM) لایه‌های اطلاعاتی ۱۲ عامل مؤثر در وقوع زمین لغزش در حوزه آبخیز زیارت تهیه شد. این عوامل شامل شیب، جهت شیب، ارتفاع از سطح دریا، کاربری اراضی، بافت خاک، زمین‌شناسی، هم‌باران، فاصله از گسل، تراکم گسل، فاصله از جاده، فاصله از آبراهه و شاخص قدرت رودخانه هستند که نقشه هریک در محیط ArcGis تهیه و طبقه‌بندی شدند. به‌منظور بررسی ارتباط عوامل مؤثر بر وقوع زمین‌لغزش در حوزه آبخیز زیارت نقشه هر یک از عوامل مؤثر در محیط ArcGis با نقشه پراکنش زمین‌لغزش‌ها تلفیق و پراکندگی زمین‌لغزش‌ها در هر طبقه از عوامل مؤثر بر زمین‌لغزش به‌دست آمد. در ادامه به تشریح این ۱۱ عامل که به‌عنوان عوامل مؤثر بر وقوع زمین‌لغزش در حوزه آبخیز زیارت شناسایی شده‌اند پرداخته می‌شود. به‌منظور بررسی نقش فاصله از گسل و جاده روی وقوع زمین‌لغزش این عامل‌ها براساس شرایط منطقه بررسی شده و پژوهش‌های انجام شده [۲]، [۱۱]، [۲۳] به‌صورت اینتروال‌های ۱۰۰ متری طبقه‌بندی شدند. به‌منظور تعیین نقشه شاخص قدرت رودخانه رابطه ۱ استفاده شد [۲۷]، [۲۸].

$$SPI = A_s \cdot \tan\beta \quad (1)$$

که در آن  $A_s$ : مساحت حوزه آبخیز،  $\beta$ : گرادیان شیب بر حسب درجه است..

### مدل دمپستر-شفر

تئوری دمپستر-شفر به‌عنوان تئوری تابع اعتقادات شناخته می‌شود که خود تعمیمی از تئوری بیزین که مبتنی بر احتمالات است. از آن‌جاکه تئوری بیزین برای هر سوال نیازمند احتمالات است، بنا براین توابع اعتقادی بیان‌گر درجات اعتقاد برای یک سوال و یا یک احتمال مربوط به آن است. این درجات اعتقاد ممکن است خواص ریاضی احتمالات را داشته باشد یا نداشته باشد. این‌که چقدر ممکن است از احتمالات متفاوت باشد وابسته به قرابت دو سوال مطرح شده دارد. این تئوری در سال ۱۹۶۷ دمپستر به‌کار برد [۲۹] و در ادامه ساختار ریاضی

آن شفر در سال ۱۹۷۶ تشریح کرد [۳۰]. اما اصلیت این تئوری به قرن ۱۷ برمی‌گردد. این تئوری بسیار مورد توجه محققان هوش مصنوعی به‌ویژه در اوایل سال ۱۹۸۰، قرار گرفته است. زمانی که آن‌ها سعی کردند از تئوری احتمالات در سیستم‌های خبره استفاده کنند. درجات اعتقاد تئوری دمپستر-شفر بسیار شبیه به عامل اطمینان است و این تشابه منجر شده که ترکیب این دو تئوری دارای انعطاف‌پذیری زیادی مانند قوانین مبتنی بر سیستم باشد. تئوری دمپستر-شفر به دلیل انعطاف‌پذیری نسبی آن همواره مورد توجه محققان قرار گرفته است. تئوری مذکور براساس دو ایده اصلی بنیان‌گذاری شده است: ۱. تعیین درجات اعتقاد برای یک سوال مبتنی بر احتمالات ذهنی، ۲. تعیین قوانین دمپستر به منظور ترکیب درجات اعتقاد برای بخش‌های مستقل یک واقعه. نظریه وقوع دمپستر-شفر در واقع یک چهار چوب ریاضی برای توصیف داده‌های ناقص تهیه می‌کند [۳۱].

اگر فرض شود  $I$  چندین لایه متعدد از داده‌های مکانی موجود در منطقه است که حساس به زمین‌لغزش است. هر لایه‌ای از داده‌های مکانی به صورت  $E_i$  ( $i=1,2,\dots,l$ ) برای تابع هدف  $T_p$  در نظر گرفته می‌شود. به این ترتیب  $E_{ij}$  به دست می‌آید که در آن  $j$  ویژگی کلاس یا طبقه‌ای از  $E_i$  و دارای توزیع فراوانی از موقعیت‌ها یا ویژگی‌های مثبت و منفی در بروز زمین‌لغزش‌هاست. وزن مثبت با علامت  $\lambda(T_p)_{E_{ij}}$  نشان داده می‌شود که به صورت رابطه ۲ تعریف می‌شود [۱۵]:

$$\lambda(T_p)_{E_{ij}} = \frac{\frac{N(L \cap E_{ij})}{N(L)}}{\frac{N(E_{ij}) - N(L \cap E_{ij})}{N(A) - N(L)}} \quad (2)$$

وزن یا نمره منفی با علامت  $\lambda(\overline{T_p})_{E_{ij}}$  نشان داده می‌شود که به صورت رابطه ۳ تعریف می‌شود:

$$\lambda(\overline{T_p})_{E_{ij}} = \frac{\frac{N(L) - N(L \cap E_{ij})}{N(L)}}{\frac{N(A) - N(L) - N(E_{ij}) + N(L \cap E_{ij})}{N(A) - N(L)}} \quad (3)$$

که در آن  $T_p$ : وضعیت هدف که در اینجا مربوط به ویژگی‌های مؤثر در ایجاد زمین‌لغزش است،  $\overline{T_p}$ : مربوط به عواملی است که روی زمین‌لغزش تأثیری ندارند،  $N(L \cap E_{ij})$ : تعداد

لغزش در هر طبقه،  $N(L)$ : تعداد کل لغزش منطقه،  $N(E_{ij})$ : تعداد پیکسل‌های فاقد لغزش در هر طبقه،  $N(A)$ : تعداد پیکسل‌های فاقد لغزش منطقه است.

به‌طور کلی مقدار وزن‌های به‌دست آمده از روابط ۴ و ۵ در محدوده صفر تا بی‌نهایت متغیر است. از این رو یک مرحله دیگری برای استانداردسازی محدوده مذکور مورد نیاز است که به‌صورت روابط ۴، ۵ و ۶ تعریف می‌شوند:

$$m(T_P)_{E_{ij}} = \frac{\lambda(T_P)_{E_{ij}}}{\sum \lambda(T_P)_{E_{ij}}} \quad (4)$$

$$m(\overline{T_P})_{E_{ij}} = \frac{\lambda(\overline{T_P})_{E_{ij}}}{\sum \lambda(\overline{T_P})_{E_{ij}}} \quad (5)$$

$$m(\Theta) = 1 - m(T_P)_{E_{ij}} - m(\overline{T_P})_{E_{ij}} \quad (6)$$

براساس روابط مذکور تمامی کلاسه‌های هر عامل وزندهی می‌شود [۸]. در محیط GIS این وزن‌ها به نقشه اضافه و نقشه وزنی عامل‌ها به‌دست می‌آید. بعد از تهیه نقشه‌های وزنی براساس روابط مدل، نقشه‌های پهنه‌بندی خطر زمین‌لغزش با ۱۲ روی‌کرد (استفاده از تمام عوامل مؤثر و حذف تک‌تک عوامل) تهیه شد. در این نقشه وزن هر پیکسل از مجموع وزن‌های به‌دست آمده برای هر عامل در آن پیکسل محاسبه می‌شود. طبقه‌هایی که حساسیت بیشتری دارند در این مدل وزن کم‌تری به‌خود اختصاص می‌دهند. براساس شکستگی‌های طبیعی<sup>۱</sup>، نقشه در پنج کلاس خطر خیلی کم، خطر کم، خطر متوسط، خطر زیاد و خطر خیلی زیاد طبقه‌بندی شد.

### ارزیابی روش پهنه‌بندی خطر زمین‌لغزش

با توجه به این‌که برای ارزیابی صحت مدل نمی‌توان از همان لغزش‌هایی استفاده کرد که در پهنه‌بندی استفاده شده‌اند [۵]، از بین تعداد ۵۰ نقطه لغزشی، تعدادی از نقاط لغزشی برای مدل‌سازی و بخشی از آن نیز برای ارزیابی صحت مدل مذکور (با نسبت ۷۰ به ۳۰) استفاده شد [۹]، [۱۱]، [۲۳]، [۲۴]. سپس با استفاده از منحنی عملکرد نسبی صحت نقشه پهنه‌بندی

1. Natural Breaks



تهیه شده ارزیابی شد [۲۸]، [۳۲]. نهایتاً نقشه‌ای که دارای بیش‌ترین دقت بود به‌عنوان نقشه نهایی خطر زمین‌لغزش برای منطقه بررسی شده پیشنهاد شد.

این منحنی یکی از کارآمدترین روش‌ها در شناسایی احتمالی و پیش‌بینی سیستم‌هاست که میزان دقت مدل را به‌صورت کمی برآورد می‌کند [۱]. در حقیقت منحنی عملکرد یک نمایش گرافیکی از موازنه بین نرخ خطای منفی و مثبت برای هر مقدار احتمالی از برش‌هاست. سطح زیر منحنی عملکرد نسبی، بیان‌گر مقدار پیش‌بینی سیستم از طریق توصیف توانایی آن در تخمین درست وقایع رخ داده (وقوع زمین‌لغزش) و عدم وقوع رخداد (عدم وقوع زمین‌لغزش) آن است. هر چه سطح زیر منحنی بیش‌تر باشد دقت مدل بیش‌تر است که میزان آن بین ۰/۵ تا ۱ متغیر است. چنان‌چه مدلی نتواند رخداد لغزشی را بهتر از دیدگاه احتمالی (تصادفی) تخمین بزند مقدار سطح زیر منحنی آن ۰/۵ است و زمانی که منحنی عملکرد نسبی، سطح زیر منحنی برابر با یک داشته باشد بیان‌گر بهترین دقت از نقشه‌بندی تهیه شده است. به‌طورکلی تقسیم‌بندی ۰/۹-۱، عالی؛ ۰/۸-۰/۹، خیلی خوب؛ ۰/۷-۰/۸، خوب؛ ۰/۶-۰/۷، متوسط و ۰/۵-۰/۶، ضعیف، را برای هم‌بستگی کیفی و کمی سطح زیر منحنی و ارزیابی تخمین ارائه کرده‌اند [۲۸].

## نتایج و بحث

نتایج به‌دست آمده از ارتباط هر یک از عوامل مؤثر بر وقوع زمین‌لغزش و مدل دمپستر-شفر در جدول ۱ ارائه شده است.

در بررسی عوامل تأثیرگذار در زمین‌لغزش نتایج نشان داد از بین سازندهای زمین‌شناسی سازند مبارک بیش‌ترین حساسیت به زمین‌لغزش را از خود نشان داد. طبقه جنگل و زراعت کاربری بیش‌ترین حساسیت به وقوع زمین‌لغزش هستند که با نتایج پژوهش‌های [۳۳]، [۷] هم‌خوانی دارد. کاربری زراعت به‌دلیل دخالت‌های انسان در محیط و هم‌چنین آبیاری نقش مهمی در وقوع زمین‌لغزش دارد. کاربری‌های جنگل نیز با توجه به شیب زیادی که دارند در مناطقی که روش‌های بهره‌برداری نامناسب استفاده می‌شود مناطق مستعد زمین‌لغزش را فراهم می‌سازد. مناطق با فاصله کم از آبراهه و جاده دارای بیش‌ترین حساسیت به زمین‌لغزش هستند

[۷]، [۱۲]، [۱۴]. با توجه به این که این عامل‌ها از عوامل محرک زمین‌لغزش محسوب می‌شوند، چنین نتیجه‌ای منطقی به نظر می‌رسد. احداث جاده معمولاً همراه با خاک‌برداری و خاک‌ریزی است و تعادل طبیعی منطقه را بهم می‌زند. وجود آبراهه‌ها نیز موجب زیرشویی است و خطر جدول ۱. مقادیر حاصل از ارتباط عوامل موثر در وقوع زمین‌لغزش‌ها

| عامل         | طبقه                   | کل پیکسل‌ها | پیکسل‌های لغزشی $\lambda_1$ | $\lambda_1$ | $m$   |
|--------------|------------------------|-------------|-----------------------------|-------------|-------|
| سنگ شناسی    | روته                   | ۸۸۰۴        | ۰                           | ۰           | ۰/۸۸۸ |
|              | کرتاسه بالایی          | ۵۲۸۵۵       | ۰                           | ۰           | ۰/۸۸۱ |
|              | خوش بیلاق              | ۲۳۶۹۰۱      | ۶                           | ۰/۵۸۹       | ۰/۸۱۹ |
|              | درود                   | ۸۳۱۶۵       | ۳                           | ۰/۸۰۳       | ۰/۸۱۶ |
|              | شمشک                   | ۱۸۹۹۴۵      | ۸                           | ۰/۹۳۷       | ۰/۸۰۵ |
|              | لار                    | ۶۹۲۱۸       | ۱                           | ۰/۳۲۲       | ۰/۸۵۴ |
|              | نهشته‌های آبرفتی       | ۱۳۹۴۰       | ۴                           | ۶/۳۸۹       | ۰/۳۳۹ |
|              | گابروی دگرگون شده      | ۱۱۲۳۳       | ۰                           | ۰           | ۰/۸۸۸ |
|              | مبارک                  | ۱۲۳۰۰۸      | ۱۳                          | ۲/۳۵۳       | ۰/۷۱۱ |
|              | جنگل ضعیف              | ۱۵۸۶۷۴      | ۹                           | ۱/۲۶۳       | ۰/۷۷۳ |
| کاربری اراضی | جنگل متوسط             | ۵۴۴۵۸       | ۱                           | ۰/۴۰۹       | ۰/۸۲  |
|              | جنگل انبوه             | ۳۴۴۹۹۹      | ۱۸                          | ۱/۱۶۱       | ۰/۷۸۹ |
|              | زراعت آبی              | ۵۰۳۳۴       | ۵                           | ۲/۲۱۱       | ۰/۷۰۵ |
|              | زراعت دیم              | ۱۷۷۶۰       | ۰                           | ۰           | ۰/۸۵۳ |
|              | مناطق مسکونی           | ۵۲۳۶        | ۲                           | ۸/۵۰۵       | ۰/۲۳۶ |
|              | مرتع                   | ۱۴۷۶۰۸      | ۰                           | ۰           | ۰/۸۲۳ |
|              | فاصله از رودخانه (متر) | <۱۰۰        | ۴۹۸۰۱۷                      | ۲۴          | ۱/۰۷۳ |
| ۱۰۰-۲۰۰      | ۱۸۳۹۶۴                 | ۹           | ۱/۰۸۹                       | ۰/۹۷۲       | ۰/۵۷۱ |
| ۲۰۰-۳۰۰      | ۶۳۷۲۵                  | ۱           | ۰/۳۴۹                       | ۱/۰۵۸       | ۰/۷۱۱ |
| ۳۰۰-۴۰۰      | ۲۳۲۲۱                  | ۰           | ۰                           | ۱/۰۳۱       | ۰/۷۹  |
| >۴۰۰         | ۱۰۱۴۲                  | ۱           | ۲/۱۹۵                       | ۰/۹۸۴       | ۰/۳۳۳ |
| بافت خاک     | لای-لوم                | ۵۴۵۲۱       | ۲                           | ۰/۸۱۷       | ۱/۰۱۴ |
|              | لای-رس-لوم             | ۹۳۸۱۱       | ۱۱                          | ۲/۶۰۸       | ۰/۷۸  |
|              | لومی-رسی               | ۳۱۲۴۹۰      | ۹                           | ۰/۶۴۱       | ۱/۲۴  |
|              | شنی-لومی               | ۳۱۸۱۷۷      | ۱۳                          | ۰/۹۰۹       | ۱/۰۶۳ |
| درصد شیب     | ۰-۱۵                   | ۳۴۱۹۲       | ۰                           | ۰           | ۰/۷۹  |
|              | ۱۵-۳۰                  | ۱۱۰۹۲۲      | ۷                           | ۱/۴۰۵       | ۰/۴۸۴ |
|              | ۳۰-۴۵                  | ۱۸۰۵۰۷      | ۷                           | ۰/۸۶۳       | ۱/۰۴۱ |
|              | ۴۵-۶۰                  | ۱۷۵۰۶۹      | ۷                           | ۰/۸۹        | ۱/۰۳۲ |
|              | >۶۰                    | ۲۷۸۳۷۹      | ۱۴                          | ۱/۱۱۹       | ۰/۹۳۴ |

|       |       |       |    |        |                 |                                 |
|-------|-------|-------|----|--------|-----------------|---------------------------------|
| ۰/۸۸۷ | ۱/۰۱۵ | ۰     | ۰  | ۱۱۸۲۶  | صاف             | جهت شیب                         |
| ۰/۸۳۳ | ۱/۱۴۲ | ۰/۳۳۸ | ۲  | ۱۳۵۶۷۳ | شمال            |                                 |
| ۰/۷۲۸ | ۰/۹۵۸ | ۱/۳۶۱ | ۵  | ۸۱۷۵۲  | شمال شرقی       |                                 |
| ۰/۷۵۶ | ۰/۹۸۴ | ۱/۱۰۹ | ۵  | ۱۰۰۳۹۹ | شرق             |                                 |
| ۰/۸۲  | ۱/۰۶۲ | ۰/۵۰۸ | ۲  | ۸۷۶۵۹  | جنوب شرقی       |                                 |
| ۰/۷۹۴ | ۱/۰۰۹ | ۰/۷۷۱ | ۱  | ۲۸۸۵۹  | جنوب            |                                 |
| ۰/۶۷۶ | ۰/۹۶۰ | ۱/۷۹  | ۳  | ۳۷۳۰۸  | جنوب غربی       |                                 |
| ۰/۷۸  | ۱/۰۱۸ | ۰/۸۷۸ | ۴  | ۱۰۱۴۶۱ | غرب             |                                 |
| ۰/۷۲۶ | ۰/۸۳۷ | ۱/۴۹۱ | ۱۳ | ۱۹۴۱۳۲ | شمال غربی       |                                 |
| ۰/۳۲۶ | ۰/۵۹۲ | ۲/۸۵۹ | ۱۸ | ۱۴۰۱۶۳ | ۶۴۸-۱۲۱۴/۲۵     | ارتفاع (متر)                    |
| ۰/۶۱۸ | ۱/۰۲۵ | ۰/۹۱۱ | ۷  | ۱۷۱۰۸۱ | ۱۲۱۴/۲۵-۱۶۰۲/۷۷ |                                 |
| ۰/۶۳۲ | ۱/۰۴۹ | ۰/۸۱۶ | ۶  | ۱۶۳۷۴۳ | ۱۶۰۲/۷۷-۲۰۰۰/۲۵ |                                 |
| ۰/۶۶۹ | ۱/۱۱۲ | ۰/۵۶۲ | ۴  | ۱۵۸۴۱۸ | ۲۰۰۰/۲۵-۲۳۸۸/۸۸ |                                 |
| ۰/۷۵۶ | ۱/۲۳  | ۰     | ۰  | ۱۴۵۶۶۴ | ۲۳۸۸/۸۸-۲۹۱۰    |                                 |
| ۰/۴۵۹ | ۰/۹۳  | ۱/۴۳۸ | ۷  | ۱۰۹۰۹۹ | <۱۰۰            | فاصله از گسل (متر)              |
| ۰/۵۷۵ | ۱/۰۱۷ | ۰/۸۸۶ | ۴  | ۱۰۰۴۶۵ | ۱۰۰-۲۰۰         |                                 |
| ۰/۷۱۲ | ۱/۰۸۸ | ۰/۲۶۶ | ۱  | ۸۳۵۵۵  | ۲۰۰-۳۰۰         |                                 |
| ۰/۷۰۶ | ۱/۰۷۱ | ۰/۳۰۷ | ۱  | ۷۲۴۶۸  | ۳۰۰-۴۰۰         |                                 |
| ۰/۵۴۸ | ۰/۷۹۲ | ۱/۱۸۴ | ۲۲ | ۴۱۳۴۸۲ | >۴۰۰            |                                 |
| ۰/۶۶۳ | ۱/۱۴۵ | ۰/۱۸۸ | ۱  | ۱۱۸۱۵۱ | ۰-۳۰۰           | شاخص قدرت رودخانه (SPI)         |
| ۰/۴۶۷ | ۰/۹۷۸ | ۱/۱۲۳ | ۶  | ۱۱۸۹۴۲ | ۳۰۰-۶۰۰         |                                 |
| ۰/۳۷۲ | ۰/۹۱۸ | ۱/۵۵۸ | ۷  | ۱۰۰۰۰۱ | ۶۰۰-۹۰۰         |                                 |
| ۰/۴۹۸ | ۰/۹۲۴ | ۱/۰۵۸ | ۲۱ | ۴۴۱۹۷۵ | >۹۰۰            | خطوط هم‌باران (میلی متر)        |
| ۰/۷۱۸ | ۱/۴۱۸ | ۰     | ۰  | ۲۲۹۵۶۸ | ۳۵۰>            |                                 |
| ۰/۶۸۸ | ۱/۱۴۹ | ۰/۴۲  | ۳  | ۱۵۹۱۷۶ | ۳۵۰-۴۵۰         |                                 |
| ۰/۵۲۷ | ۰/۸۲۸ | ۱/۵۴۱ | ۱۳ | ۱۸۷۸۱۲ | ۴۵۰-۵۵۰         |                                 |
| ۰/۳۷۱ | ۰/۶۰۹ | ۲/۵۳۶ | ۱۸ | ۱۵۸۰۱۵ | ۵۵۰-۶۵۰         |                                 |
| ۰/۶۹۵ | ۱/۰۳  | ۰/۵   | ۱  | ۴۴۴۹۸  | ۶۵۰-۷۵۰         | فاصله از جاده (متر)             |
| ۰/۴۸۱ | ۰/۷۲۷ | ۳/۵۸۷ | ۱۲ | ۷۴۴۷۴  | >۱۰۰            |                                 |
| ۰/۶۲۴ | ۰/۹۰۶ | ۲/۰۰۳ | ۶  | ۶۶۶۶۵  | ۱۰۰-۲۰۰         |                                 |
| ۰/۶۳۲ | ۰/۹۲۷ | ۱/۹۰۱ | ۵  | ۵۸۵۳۳  | ۲۰۰-۳۰۰         |                                 |
| ۰/۶۹۷ | ۰/۹۸۳ | ۱/۲۱۸ | ۳  | ۵۴۸۱۶  | ۳۰۰-۴۰۰         |                                 |
| ۰/۵۶۷ | ۲/۲۷۴ | ۰/۳۸۲ | ۹  | ۵۲۴۵۸۱ | >۴۰۰            | تراکم گسل (Km/Km <sup>2</sup> ) |
| ۰/۷۳۹ | ۰/۷۸۳ | ۱/۱۴۶ | ۲۴ | ۴۶۶۲۲۷ | <۲              |                                 |
| ۰/۸۱۵ | ۱/۰۷۴ | ۰     | ۰  | ۵۳۵۳۸  | ۴-۲             |                                 |
| ۰/۷۲۹ | ۱/۰۱۳ | ۰/۸۷۸ | ۳  | ۷۶۰۹۵  | ۶-۴             |                                 |
| ۰/۷۱۳ | ۰/۹۷۱ | ۱/۰۹۳ | ۹  | ۱۸۳۲۰۹ | >۶              |                                 |

زمین‌لغزش را افزایش می‌دهند. بررسی ارتفاع از سطح دریا نشان می‌دهد که ارتفاع ۱۲۱۴/۲۵-۶۴۸ متر بیش‌ترین میزان لغزش را دارد. افزایش ارتفاع باعث کاهش لغزش شده است بررسی نشان داده است که در جهات دامنه‌ای مشخص این امر می‌تواند به دلیل بارش‌های برفی در بالادست و هم‌چنین در امان بودن از دخالت انسان و یا سازندهای سنگی مقاوم‌تر باشد [۹]، [۳۴]. هم‌چنین بیش‌ترین لغزش‌ها در محدوده بارش ۶۵۰-۵۵۰ میلی‌متر می‌توان مشاهده کرد که با نتایج پژوهش‌های [۲] مطابقت می‌کند. بررسی‌های مربوط به بافت خاک نشان داد که بیش‌ترین لغزش‌ها در خاک‌های لای-رسی-لومی و رسی-لومی اتفاق افتاده است. دلیل این امر را می‌توان با جذب آب بیش‌تر و آب‌گذری کم‌تر خاک‌های با بافت متوسط و ریز، در نتیجه اشباع راحت‌تر این خاک‌ها مرتبط دانست. دامنه‌های شمال‌غربی بیش‌ترین حساسیت به لغزش نشان می‌دهد. این موضوع ناشی از آن است که این دامنه‌ها به دلیل زاویه و طول مدت کم‌تر تابش خورشیدی در نیم‌کره شمالی دارای بیش‌ترین رطوبت هستند بنا براین شرایط مهباتری برای رخ‌داد زمین‌لغزش در این دامنه‌ها وجود دارد [۱۰]. مناطق با مقادیر بالای شاخص قدرت رودخانه بیش‌ترین حساسیت به زمین‌لغزش را از خود نشان می‌دهند [۶]، [۹]. هر چه مقدار این شاخص بیش‌تر باشد تعداد لغزش‌های بیش‌تری در منطقه ایجاد می‌شود؛ از این رو، در مناطق پرشیب و اطراف رودخانه‌های اصلی لغزش‌های بیش‌تری دیده شده است که اثر این عامل را به‌خوبی نشان می‌دهد. هم‌چنین طبقه اول تراکم گسل (کوچک‌تر از ۲ کیلومتر بر کیلومتر مربع) بیش‌ترین حساسیت به زمین‌لغزش را از خود نشان داد.

به‌منظور پهنه‌بندی خطر زمین‌لغزش در منطقه بررسی شده از ۱۳ روی‌کرد استفاده شد. ۱۳ نقشه خطر زمین‌لغزش با استفاده از منحنی عملکرد نسبی و با در نظر گرفتن سطح زیرمنحنی ارزیابی شدند. براساس نتایج منحنی عملکرد نسبی (جدول ۲)، مقدار سطح زیر منحنی منطقه بررسی شده هنگامی که از تمام عوامل مؤثر بر وقوع زمین‌لغزش استفاده شد دارای دقتی برابر با ۸۴/۴ درصد بوده است (روی‌کرد اول مدل‌سازی).

دقت در جدول ۲ نشان می‌دهد که زمانی که عوامل خطوط هم‌باران (روی‌کرد دهم) و ارتفاع (روی‌کرد چهارم) از تحلیل‌ها حذف شد دقت مدل به‌ترتیب به ۷۳/۸ درصد و ۸۰/۴

درصد کاهش یافت. این نتایج نشان می‌دهد که عوامل باران و ارتفاع از سطح دریا به‌عنوان مهم‌ترین عوامل تأثیرگذار در منطقه بررسی شده محسوب می‌شوند (شکل ۲).

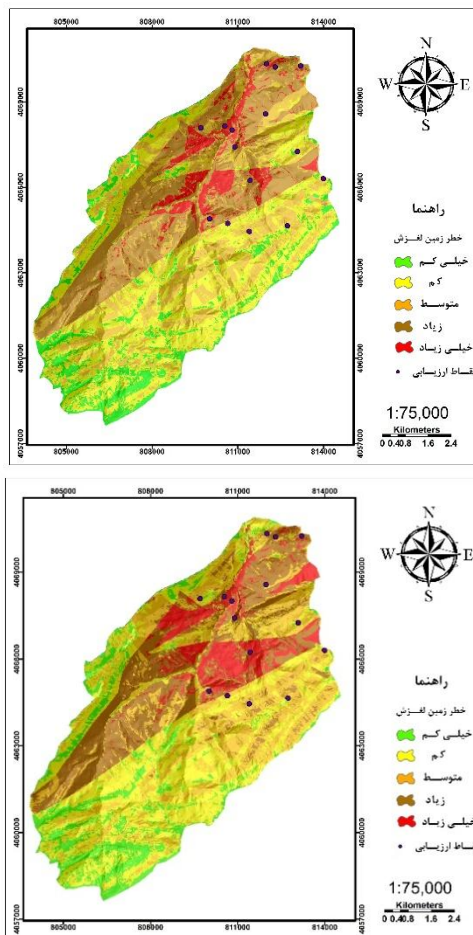
بیش‌ترین دقت مدل زمانی بوده است که عامل لیتولوژی از تحلیل‌ها حذف شده است (روی‌کرد ششم مدل‌سازی) که در این حالت دقت مدل به ۹۲/۹ درصد افزایش یافته است (شکل ۳) که نشان‌دهنده ارزیابی عالی مدل دمپستر-شفر برای پهنه‌بندی خطر زمین‌لغزش منطقه بررسی شده است.

نتایج پهنه‌بندی خطر غزش نیز برای مدل برتر (روی‌کرد ششم) در شکل ۴ نشان داده است که به ترتیب ۴۰، ۲۰، ۲۶/۶۷ و ۱۳/۳۳ درصد از لغزش‌های منطقه در طبقات خطر خیلی زیاد، زیاد، متوسط، کم و صفر درصد در طبقه خطر خیلی کم قرار گرفته‌اند. جدول ۲. توصیف آماری هر یک از روی‌کردهای مدل‌سازی و میزان دقت مدل‌های مذکور

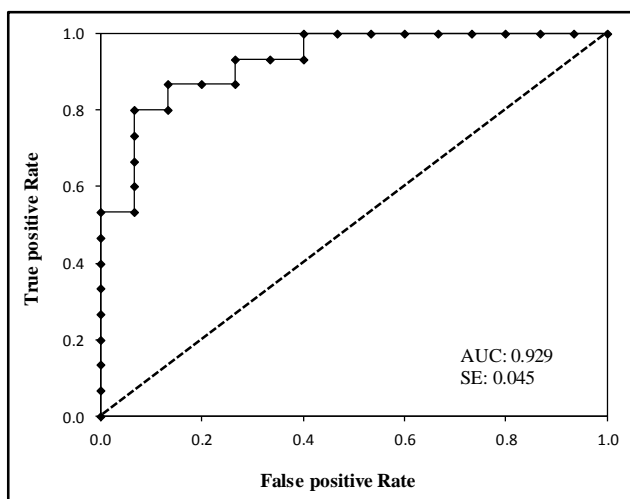
| روی‌کرد | میانگین | انحراف معیار | سطح زیر منحنی |
|---------|---------|--------------|---------------|
| ۱       | ۷/۵۰۷   | ۰/۴۴۸        | (۸۴/۱۴)۰/۸۴۴  |
| ۲       | ۶/۸۷۱   | ۰/۵۸۵        | (۸۱/۱۳)۰/۸۱۳  |
| ۳       | ۶/۷۰۲   | ۰/۶۰۷        | (۸۳/۱۶)۰/۸۳۶  |
| ۴       | ۶/۹۴۳   | ۰/۵۳۰        | (۸۰/۱۴)۰/۸۰۴  |
| ۵       | ۶/۷۰۵   | ۰/۵۸۱        | (۸۴/۱۴)۰/۸۴۴  |
| ۶       | ۶/۷۳    | ۰/۶۳۳        | (۹۲/۱۹)۰/۹۲۹  |
| ۷       | ۶/۸۵۲   | ۰/۵۹۸        | (۸۳/۱۶)۰/۸۳۶  |
| ۸       | ۶/۹۰۱   | ۰/۶۲۴        | (۸۴/۱۴)۰/۸۴۴  |
| ۹       | ۶/۸۲۸   | ۰/۶۲۶        | (۸۴/۱۴)۰/۸۴   |
| ۱۰      | ۶/۸۹۶   | ۰/۵۳۷        | (۷۳/۱۸)۰/۷۳۸  |
| ۱۱      | ۶/۹۸۲   | ۰/۵۵۶        | (۷۸/۱۲)۰/۷۸۲  |
| ۱۲      | ۶/۹۶    | ۰/۵۸۸        | (۸۲/۱۲)۰/۸۲۲  |
| ۱۳      | ۶/۸۳۲   | ۰/۶۲۷        | (۸۳/۱۶)۰/۸۳۶  |

۱. استفاده از تمام عوامل مؤثر، ۲. حذف عامل درصد شیب، ۳. حذف عامل جهت شیب، ۴. حذف عامل ارتفاع، ۵. حذف عامل کاربری اراضی، ۶. حذف عامل لیتولوژی، ۷. حذف عامل فاصله از رودخانه، ۸. حذف عامل فاصله از گسل، ۹. حذف عامل فاصله از جاده، ۱۰. حذف

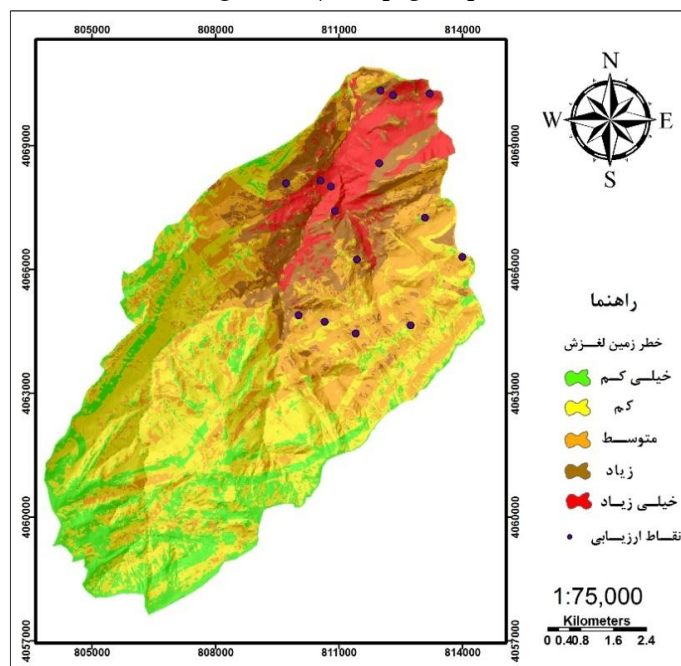
عامل باران، ۱۱. حذف عامل بافت خاک، ۱۲. حذف عامل شاخص قدرت رودخانه و ۱۳. حذف عامل تراکم گسل.



شکل ۲. نقشه پهنه‌بندی خطر زمین لغزش حوزه آبخیز زیارت با استفاده از تئوری دمپستر-شفر (به ترتیب از راست به چپ: روی کرد دهم و چهارم)



شکل ۳. منحنی عملکرد نسبی و سطح زیرمنحنی نقشه پهنه‌بندی خطر زمین‌لغزش تئوری دمپستر-شفر (روی کرد ششم مدل‌سازی)



شکل ۴. نقشه پهنه‌بندی خطر زمین‌لغزش حوزه آبخیز زیارت با استفاده از تئوری دمپستر-شفر

### نتیجه‌گیری

پس از تهیه نقشه پراکنش لغزش‌های منطقه، با استفاده تئوری دمپستر-شفر تأثیر ۱۲ عامل مؤثر بر وقوع زمین لغزش شامل درصد شیب، جهت شیب، ارتفاع، خطوط هم باران، زمین شناسی، کاربری اراضی، بافت خاک، فاصله از جاده، فاصله از گسل، تراکم گسل، فاصله از رودخانه و شاخص قدرت رودخانه در حوزه آبخیز زیارت بررسی شد. برای این منظور ۱۳ روی‌کرد مدل‌سازی به‌کار گرفته شد. بدین‌صورت که ابتدا با استفاده از تمامی عوامل مؤثر و سپس حذف تک‌تک آن‌ها اقدام به بررسی عوامل مؤثر بر وقوع زمین لغزش شد. ارزیابی مدل‌ها با استفاده از روش منحنی عملکرد نسبی نشان داد که با حذف عامل لیتولوژی مدل با دقت ۹۲/۹ درصد، در طبقه عالی قرار می‌گیرد. هم‌چنین دقت مدل نشان داد که با حذف عامل بارندگی و ارتفاع دقت مدل به ۷۳/۸ درصد و ۸۰/۴ درصد تنزل می‌یابد. بنا براین این دو عامل به‌عنوان مؤثرترین عوامل در وقوع زمین لغزش در منطقه بررسی شده شناخته شدند. براساس نقشه پهنه‌بندی خطر زمین لغزش حوزه آبخیز زیارت و نقاط زمین لغزش (۱۵ نقطه) در نظر گرفته شده برای ارزیابی صحت مدل، به‌ترتیب ۴۰، ۲۰، ۲۶/۶۷ و ۱۳/۳۳ درصد از لغزش‌های منطقه در طبقات خطر خیلی زیاد، زیاد، متوسط، کم و صفر درصد در طبقه خطر خیلی کم قرار گرفتند.

### تشکر و قدردانی

از اداره کل منابع طبیعی و معاونت آبخیزداری استان گلستان به‌دلیل مساعدت‌های فراوان تشکر و قدردانی می‌شود.

### منابع

- Swets J. A., "Measuring the accuracy of diagnostic systems", Science, 240 (1988) 1285-1293.
- زارع م، احمدی ح، غلامی ش، "پهنه‌بندی و ارزیابی خطر زمین لغزش با استفاده از مدل‌های عامل اطمینان، ارزش اطلاعات و تحلیل سلسله مراتبی (مطالعه موردی: حوزه آبخیز واز)"، مجله علوم و مهندسی آبخیزداری ایران، دوره ۵، شماره ۱۷ زمستان (۱۳۹۰) ۱۵-۲۲.
- Remendo J., Gonzales A., Teran J., Cendrero A., Fabbri A., Chung C., "Validation of landslide susceptibility maps, examples and applications



from a case study in northern Spain", *Natural Hazard*, Vol. 21 (2003) 437-449.

۴. بهاورد س.، سوری س. "پهنه‌بندی خطر زمین‌لغزش با استفاده از منطق فازی و مدل تراکم سطح (مطالعه موردی: حوضه کاکاشرف، جنوب شرقی خرم‌آباد)"، نشریه زمین‌شناسی مهندسی، جلد ۹، شماره ۴ زمستان (۱۳۹۴) ۳۱۱۲-۳۰۹۳.

5. Komac M. A., "Landslide susceptibility model using the analytical hierarchy process method and multivariate statistics in perialpine Sloveni", *Geomorphology*, Vol.74 (2006) 17-28.

6. Pourghasemi H. R., pardhan B., gokceoglu C., dylami moezzi K., "comparative assessment of prediction capabilities of Dempster-Shafer and Weights-of-evidence models in landslide susceptibility mapping using GIS", *Geomatics, Natural Hazards and Risk*, Vol.2, (2013a) 93-118.

۷. فاطمی‌عقدا س. م.، غیومیان ج.، تشنه لب م.، اشقلی فراهانی، ع.، "بررسی خطر زمین‌لغزش با استفاده از منطق فازی (مطالعه موردی: منطقه رودبار)"، *مجله علوم دانشگاه تهران*، دوره ۳۱، شماره ۱ (۱۳۸۴) ۶۴-۴۳.

۸. مرادی ح.ر.، محمدی م.، پورقاسمی ح.ر.، مصطفی‌زاده ر.، "تحلیل خطر زمین‌لغزش در استان گلستان با استفاده از تئوری دمپستر-شفر، پژوهش‌های دانش زمین، دوره ۱، شماره ۳ پاییز (۱۳۸۹) ۱-۱۴.

9. Pourghasemi H. R., Jirandeh A. G., Pradhan B., xu C., Gokceoglu C., "Landslide susceptibility mapping using support vector machine and GIS at the Golestan Province, Iran", *Journal of Earth System Science*, Vol.12 (2013b) 349-369.

۱۰. شیرانی ک.، سیف ع.، "پهنه‌بندی خطر زمین‌لغزش با استفاده از روش‌های آماری (منطقه پیشکوه، شهرستان فریدون شهر)"، *مجله علوم زمین*، دوره ۲۲، شماره ۸۵ پاییز (۱۳۹۱) ۱۴۹-۱۵۸.

۱۱. صابرچناری ک.، سلمانی ح.، محمدی م.، "ارزیابی خطر زمین‌لغزش با استفاده از مدل‌های ارزش اطلاعات و LNRF، نشریه اکوهیدرولوژی"، دوره ۲، شماره ۱ بهار (۱۳۹۴) ۱۱۶-۱۰۵.
12. Yalcin A., "GIS-based landslide susceptibility mapping using analytical hierarchy process and bivariate statistics in Ardesen (Turkey): comparisons of results and confirmation". *Catena*, Vol.72 (2008) 1-12.
13. Neuhauser B., Terhorst B., "Landslide susceptibility assessment using weights-of-evidence applied to a study area at the Jurassic escarpment (SW-Germany)", *Geomorphology*, Vol.86 (2007) 12-24.
14. Lee S., "Application and verification of fuzzy algebraic operators to landslide susceptibility mapping", *Environmental Geology*, Vol.52 (2007) 615-623.
15. Park N. W., "Application of Dempster-Shafer theory of evidence to GIS-based landslide susceptibility analysis", *Environmental Earth Science*, Vol.62 (2010) 367-376
16. Saadatkhah N., Kassim A., Min Lee L., "Qualitative and Quantitative Landslide Susceptibility Assessments in Hulu Kelang area", Malaysia, *EGJE journal*, Vol.19 (2014) 545-563.
17. Wang G., Li W., Wu Y., Pei Y., Xing M., Yang D. "A comparative study on the landslide susceptibility mapping using evidential belief function and weights of evidence models", *Journal of Earth System Science*, Vol.125 (2016) 645-662.
18. Zhang Z., Yang F., Chen H., Wu Y., Li T., Li W., Wang., Liu P., "GIS-based landslide susceptibility analysis using frequency ratio and evidential belief function models", *Environmental Earth Sciences*, Vol. 75 (2016) 1-12.

19. Ding, Q., Chen W., Hong H., "Application of frequency ratio, weights of evidence and evidential belief function models in landslide susceptibility mapping", *Geocarto International*, 10.1080/10106049 (2016) 1165294.
20. Althuwaynee O. F., Pradhan B., Lee S., "A novel integrated model for assessing landslide susceptibility mapping using CHAID and AHP pairwise comparison", *International Journal of Remote Sensing*, Vol. 37 (2012) 1190-1209.
21. Erener, A., Mutlu A., Sebnem Düzgün, H., "A comparative study for landslide susceptibility mapping using GIS-based multi-criteria decision analysis (MCDA), logistic regression (LR) and association rule mining (ARM)", *Engineering Geology*, Vol. 203 (2016) 45-55.
۲۲. رحیمی نسب ع. الف.، عبقری ه.، عرفانیان م.، ندیری، ع.، "بررسی و تحلیل مدل هیبرید AHP و تراکم سطح در پهنه‌بندی خطر زمین‌لغزش، پژوهش‌های فرسایش محیطی، دوره ۲، شماره ۵ بهار (۱۳۹۱) ۱-۱۱.
23. Pourghasemi H. R., Pradhan B., Gokceoglu C., "Application of fuzzy logic and analytical hierarchy process (AHP) to landslide susceptibility mapping at Haraz watershed, Iran", *Nat Hazards*, Vol.63 (2012) 965-996.
24. Constantin M., Bednarik M., Jurchescu M.C., Vlaicu M., "Landslide susceptibility assessment using the bivariate statistical analysis and the index of entropy in the Sibiciu Basin (Romania)", *Environmental Earth Science*, Vol.63 (2010) 397-406.
۲۵. کریمی سنگ‌چینی الف.، اونق، م.، ف. سعدالدین الف.، "ارزیابی خطر و خسارت زمین لغزش در حوزه آبخیز چهل چای، استان گلستان"، پژوهش‌های آبخیزداری (پژوهش و سازندگی)، دوره ۲۶، شماره ۱ (بهار ۱۳۹۲) ۷۴-۸۴.

۲۶. کریمی سنگ‌چینی الف، اوتق م. ف، سعدالدین الف، "مقایسه کارایی ۴ مدل کمی و نیمه‌کمی پهنه‌بندی خطر زمین لغزش در حوزه آبخیز چهل‌چای"، استان گلستان، مجله پژوهش‌های حفاظت آب و خاک، جلد ۱۹، شماره ۱ (۱۳۹۱) ۱۸۳-۱۹۶.

27. Moore I. D., Wilson, J. P., "Length-slope factors for the revised universal soil loss equation: simplified method of estimation". *J Soil Water Conserv*, Vol.47 (1992) 423-428.

28. Nefeslioglu H. A., Duman T. Y., Durmaz, S., "Landslide susceptibility mapping for a part of tectonic Kelkit Valley (Easten Black Sea Region of Turkey)", *Geomorphology*, Vol.94 (2008) 401-418.

29. Dempster A. P., "Upper and lower probabilities induced by a multi valued mapping". *The Annals of Mathematical Statistics*. Vol.38 (1967) 325-339.

30. Shafer G., "A mathematical theory of evidence. Princeton University Press", Princeton (1976).

31. An P., Moon W.M., Bonham-Carter G.F., "Uncertainty management in integration of exploration data using the belief function", *Nonrenewable Resources*, Vol.3 (1994) 60-71.

32. Regmi N. R., Giardino J. R., Vite, J. D., "Modeling susceptibility to landslides using the weight of evidence approach: Western Colorado, USA", *Geomorphology*, Vol.115 (2010) 172-187.

۳۳. شادفر ص، یمانی م، نمکی م، پهنه‌بندی خطر زمین‌لغزش با استفاده از مدل‌های ارزش اطلاعاتی، تراکم سطح و LNRF درحوضه چالکرو، مهندسی و مدیریت آبخیز، دوره ۳، شماره ۱ (۱۳۹۰) ۴۰-۴۷.

۳۴. پورقاسمی ح ر، "ارزیابی خطر زمین‌لغزش با استفاده از منطق فازی (مطالعه موردی: بخشی از حوزه آبخیز هراز)"، پایان‌نامه کارشناسی ارشد، دانشگاه تربیت مدرس، دانشکده منابع طبیعی و علوم دریایی، (۱۳۸۶).